

УДК 538.245

АНАЛИЗ МАГНИТОКРИСТАЛЛИЧЕСКОЙ АНИЗОТРОПИИ СОЕДИНЕНИЙ RFe₁₁Ti (R=Gd, Er, Ho) С УЧЕТОМ МНОГОДОМЕННОГО СОСТОЯНИЯ

К.П. Скоков, С.С. Смирнов, О.С. Егоров, Л.В. Лебедева,
Ю.Г. Пастушенков, Ю.Д. Орлов¹

Тверской государственный университет,

кафедра магнетизма,

¹кафедра общей физики

При исследовании температурной перестройки магнитной доменной структуры (ДС) и изменений магнитной анизотропии соединений RFe₁₁Ti в области спин-переориентационных фазовых переходов (СПП) было обнаружено, что в отдельных случаях температуры СПП, определенных по наблюдениям ДС не совпадают с данными магнитных измерений [1–3]. Эти расхождения были связаны авторами работ с погрешностью в оценках констант магнитокристаллической анизотропии (МКА) данных соединений.

В настоящей работе предлагается метод расчета эффективных констант МКА по кривым намагничивания, измеренным вдоль основных кристаллографических направлений ферро- или ферримагнитного кристалла, учитывающий наличие в образце магнитной доменной структуры. В основе данного метода положен расчет микромагнитного состояния образца, базирующийся на модифицированном методе Нееля [4–9].

В отличие от известного метода Нееля, который требует для магнетиков с различными типами анизотропии индивидуальных схем расчета микромагнитного состояния, вследствие чего она не применима для анализа кривых намагничивания магнетиков с ориентационными фазовыми переходами или комплексным типом МКА (переходы типа FOMP [10]), предлагаемая методика позволяет рассчитывать микромагнитное состояние образца в рамках единого подхода для магнетиков с любым типом МКА.

В основе этой методики лежат следующие допущения.

В отсутствие магнитного поля образец разбит на домены. Во внешнем поле намагничивание происходит как за счет вращения вектора намагниченности, так и за счет смещения доменных границ.

В образце намагничивание происходит таким образом, что не возникает магнитных зарядов ($\text{div} \mathbf{B} = 0$). При этом условии углы между векторами намагниченности различных доменов с осью *c* кристалла равны между собой. Общая энергия складывается из энергии анизотропии E_a и энергии в магнитном поле E_i , где E_i есть сумма

энергии образца во внешнем поле и энергии собственного размагничивающего поля образца.

При изменении магнитного поля E_i изменяются объемные плотности энергий различных доменов. За счет процессов вращения вектора намагченности и смещения доменных границ начинает изменяться конфигурация магнитных доменов до выравнивания плотностей энергий различных фаз.

Так как углы между векторами намагченности различных фаз и осью c равны между собой, то и энергии анизотропии этих фаз равны. Это приводит к тому, что и энергии во внутреннем поле E_i должны быть равны, то есть вектора намагченности всех фаз должны составлять с вектором магнитного поля в объеме образца один и тот же угол.

Как уже отмечалось, в рамках данной методики домены с одинаковым направлением намагченности рассматриваются как одна магнитная фаза. Тогда проекции намагченности i -ой фазы на оси координат можно записать в виде

$$I_x = v_i \sin \theta_i \cos \varphi_i, I_y = v_i \sin \theta_i \sin \varphi_i, I_z = v_i \cos \theta_i, \quad (1)$$

при условии, что $\sum v_i = 1$.

Здесь θ_i , φ_i – полярный и азимутальный углы i -той фазы, v_i – её относительный объем. Если Θ и Φ – полярный и азимутальный углы между вектором внешнего магнитного поля и осью c , то полную энергию образца (для тетрагонального магнетика) можно записать в виде

$$\begin{aligned} E = & (K_1 \sin^2 \theta_i + K_2 \sin^4 \theta_i + K_3 \sin^4 \theta_i \cos 4\varphi_i) v_i + \\ & H(I_x \sin \Theta \cos \Phi + I_y \sin \Theta \sin \Phi + I_z \cos \Theta) + \\ & (I_x^2 + I_y^2 + I_z^2) N / 2 \end{aligned}$$

Минимизируя эту энергию, можно найти θ_i , φ_i и v_i , а затем из (1) – проекции намагченности.

Предлагаемая методика позволяет:

- рассчитать объем, занимаемый доменами с различной ориентацией вектора намагченности, а также направления намагченности в каждом типе магнитных доменов;
- детально описать процесс намагничивания для всех типов магнитной анизотропии как в области полей, при которых в образце присутствует доменная структура, так и в случае монодоменного состояния образца;
- моделировать процесс трансформации магнитной доменной структуры при магнитных фазовых переходах, исследовать степень влияния доменной структуры на тип и характер спин-переориентационных переходов;

— рассчитывать полевые и угловые зависимости намагниченности для магнетиков с любым типом магнитной анизотропии в рамках единого подхода.

В данной работе описанная методика использована для определения констант МКА соединений RFe₁₁Ti (R=Gd, Er, Ho) из анализа полевых зависимостей намагниченности $I(H)$, измеренных при постоянной температуре в различных кристаллографических направлениях.

На рис. 1, 2 и 3 показаны изотермы намагниченности монокристаллов GdFe₁₁Ti, ErFe₁₁Ti, HoFe₁₁Ti, измеренные на СКВИД-магнитометре вдоль кристаллографического направления [110] в температурном интервале 4,2–300 К. Точками на рисунках показаны экспериментальные значения намагниченности, сплошной линией — результаты расчёта. На рис. 4, 5 и 6 приведены значения констант МКА, при которых получено наилучшее совпадение экспериментальных и расчетных значений.

Анализ рис. 2 показывает, что соединение HoFe₁₁Ti имеет метастабильный минимум энергии вдоль оси [110], что обнаруживается по характерным изломам на кривых намагничивания (переходы типа FOMP). На рис. 3 представлен температурный ход первой и второй констант магнитной анизотропии этого соединения. Видно, что вторая константа анизотропии при температуре 120 К меняет свой знак с отрицательного на положительный. Это свидетельствует о выходе образца из области анизотропии с метастабильным минимумом энергии МКА в базисной плоскости (направление [110]). Выше этой температуры данное соединение имеет МКА типа легкая ось, то есть в соединении HoFe₁₁Ti в интервале температур 10–120 К обнаружаются индуцированные магнитным полем магнитные фазовые переходы типа FOMP (First Order Magnetization Processes).

Как следует из рис. 1 и 4, соединение GdFe₁₁Ti имеет МКА типа легкая ось во всем температурном интервале магнитного порядка. Это соединение является одноосным и температурный ход констант МКА хорошо согласуется с законом Зинера-Карпа

$$K_i(T) = K_i(0) \left(1 - \alpha T/T_c\right) \left(\frac{M(T)}{M(o)}\right)^{i(2i+1)}.$$

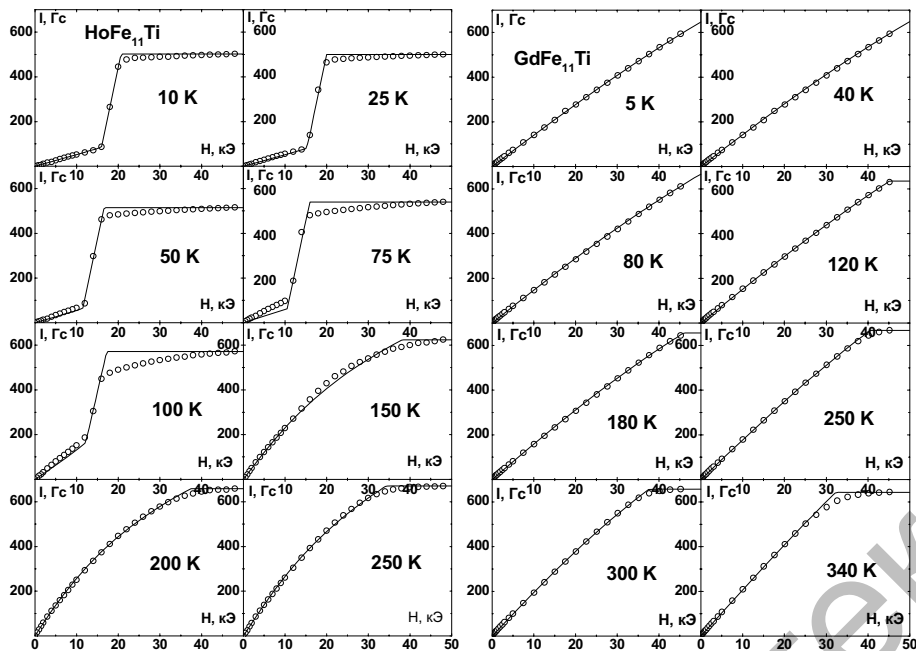


Рис. 1. Полевые зависимости намагниченности монокристаллов $\text{GdFe}_{11}\text{Ti}$ и $\text{HoFe}_{11}\text{Ti}$, измеренные вдоль направления [110] при различных температурах. Точки – эксперимент, сплошная линия – расчёт.

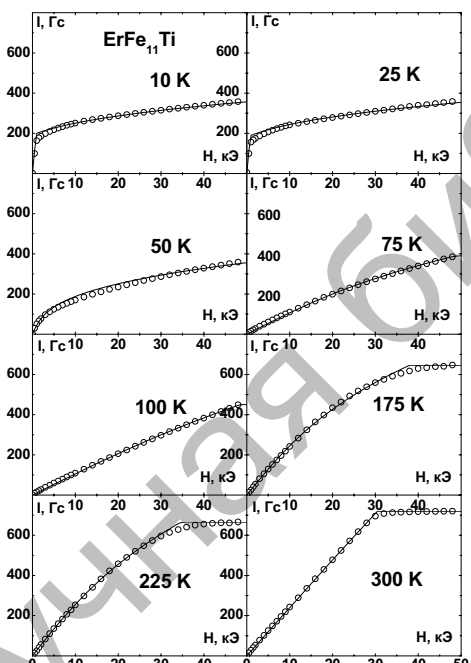


Рис. 2. Полевые зависимости намагниченности монокристалла $\text{ErFe}_{11}\text{Ti}$ вдоль направления [110] при различных температурах. Точки – эксперимент, сплошные линии – расчёт

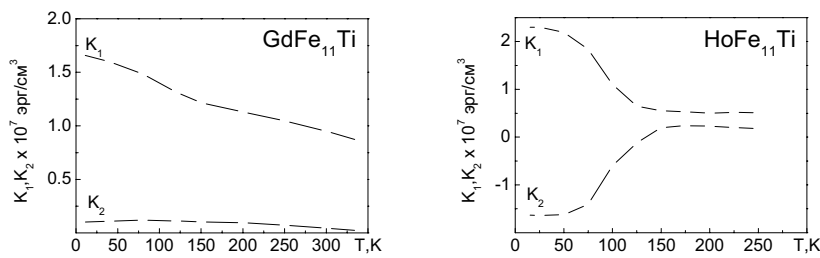


Рис. 3. Температурная зависимость первой и второй констант анизотропии соединений $\text{GdFe}_{11}\text{Ti}$ и $\text{HoFe}_{11}\text{Ti}$

На рис. 4 показан температурный ход констант МКА соединения $\text{ErFe}_{11}\text{Ti}$. Видно, что константа K_1 меняет свой знак при температуре 50 К, что соответствует спин-переориентационному переходу от МКА конус осей легкого намагничивания к анизотропии легкая ось.

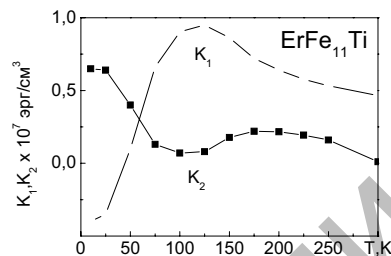


Рис. 4. Первая и вторая константы анизотропии соединения $\text{ErFe}_{11}\text{Ti}$, определенные из кривых намагничивания

Таким образом, выполненный в настоящей работе анализ данных магнитных измерений с учетом магнитной доменной структуры подтвердил литературные данные о характере температурного поведения МКА этих соединений и позволил уточнить значения первых двух констант МКА этих соединений в интервале температур 4,2–300 К.

Работа выполнена при поддержке НШ-205.2003.02, гранта РФФИ № 05-02-17197 и гранта Минобрнауки России РНП.2.1.1.3674

Список литературы

- Pastushenkov Yu.G., Suponev N.P. The domain structure of tetragonal RE-3d intermetallic compounds in the spin reorientation region // Proc. Moscow Intern. Symp. Magn. MISM'99. Part 1. P. 384–387.
- Ivanova T.I., Nikitin S.A., Tokareva TD.V., Telegina I.V., Pastushenkov Yu.G., Skokov K.P., Suski W., Skourski Yu. The magnetization processes, spin reorientation transitions and magnetic domain structure in $\text{DyFe}_{10}\text{CoTi}$ single crystal // J. Magn. Magn. Mat. 2002. V. 238. P. 215–220.
- Pastushenkov Yu.G., Skokov K.P., Skourski Yu., Lebedeva L., Ivanova T., Grushichev A., Mueller K.-H. Magnetocrystalline anisotropy and magnetic DS of $\text{ErFe}_{11}\text{Ti}$ and $\text{HoFe}_{11}\text{Ti}$ compounds // J. Magn. Magn. Mat. 2006. V. 300. P. e500–e502.

4. Skokov K.P., Pastushenkov Yu.G., Skoursky Yu., Khokholkov A.G., Lyakhova M.B., Smirnov S.S., Mueller K.-H. First order magnetization processes in R_2Fe_{17} ($R=Tb, Er$) compounds //Proc. 3rd Moscow Intern. Symp. Magnetism. 2005. P.253–256.
5. Хохолков А.Г., Скоков К.П., Бартоломе Х., Пастушенков Ю.Г. Учет многодоменного состояния при расчете температурных зависимостей спонтанного коэффициента Холла соединений $Nd_2Fe_{14}B$ и $Y_2(Fe,Co)_{17}$ /Вестник ТвГУ. Серия «Физика». 2005. Вып.2. №9(15). С.16–18.
6. Смирнов С.С., Ляхова М.Б., Скоков К.Р., Пастушенков Ю.Г. Моделирование процессов перемагничивания кубических магнетиков /Вестник ТвГУ. Сер. Физика. №4(6). 2004. С. 43–48.
7. Neel L.J. Les lois de l'aimantation et de la subdivision en domaines elementaires d'un monocristal de fer (I) //J. de Phys. Radium.1944. V. 5. P. 241–251.
8. Birss R.R. Martin D.J. The magnetization process in hexagonal ferromagnetic and ferrimagnetic single crystals //J. Phys. C. Sol. State. 1975. V. 8. P.189–210.
9. Asti G. First-order magnetic processes //Ferromagnetic materials. 1990. V.5. P.397–464.
10. Zhang L.Y., Boltich N.B., Sinha V.K., Wallace W.E. Structure and magnetism of the $RFe_{11}Ti$ compounds ($R=Gd, Tb, Dy, Ho$ and Er) //IEEE Trans. Magn. 1989. V.25, N.5.